

高等学校数学用書

專門物理實驗

第二卷

Г. В. 斯皮瓦克主編

馮志超等譯

人民教育出版社

高等学校教学用书



專門物理實驗
第二卷

Г.В.斯皮瓦克主編
馮志超等譯

人民教育出版社

ное издательство технико-теоретической литературы) 出版的斯皮瓦克 (Г. В. Спивак) 主編的“专门物理实验”(Специальный физический практикум) 第一卷 1945 年版譯出。原書經苏联人民委員会的全苏联高等学校委員会审定为大学教学参考書。

原書分两卷,第二卷包括四篇: 第一篇为倫琴射綫物理学和倫琴射綫结构分析; 第二篇为鐵磁学; 第三篇为低温物理学; 第四篇为照相过程。

参与本卷翻譯及校閱工作的有馮志超、王子輔、朱志沂、黃燧基、方心东、杜正彌、楊勤、謝汉德、曾德璋、吳家藩、楊明照等。以及成都電訊工程学院 7602 班同学。

專門物理实验

第二卷

Г. В. 斯皮瓦克主編

馮志超等譯

北京市书刊出版业营业登记证字第 2 号

人民教育出版社出版 (北京景山东街)

中央民族印刷厂印裝

新华書店北京发行所發行

各地新华書店經售

统一书号 K13010·728 开本 850×1168 1/32 印张 10 8/16

字数 50,000 印数 7,501—11,500 定价(6)元 1.00

1960年3月第1版 1962年3月北京第3次印刷

序

編写“專門物理實驗”第二卷的主要目的，与本書第一卷的相同。

国立莫斯科大学物理系物理教研組的多年工作經驗証明，專門物理實驗是培养学生實驗技能的基本环节；能够訓練学生运用精密的和复杂的物理仪器，教学生利用专业物理的科学文献，并培养学生从事毕业論文和研究工作。

跟第一卷一样，本卷不但打算作为培养大学和高等师范学校物理专业学生用的参考書，而且也作为其他专业（化学、生物、高等工业学校学生）用的参考書。

国立莫斯科大学物理系的几位教授和教師参加了第二卷的編写工作。

（编写人員分工名单四段从略）

物理系的三位教授介紹了本卷前三篇的內容，——C. T. 科諾別耶夫斯基（第一篇），H. C. 阿庫洛夫（第二篇），II. Л. 卡皮查（第三篇），他們的寶貴意見对我有极大的帮助。

Г. B. 斯皮瓦克

目 录

序

第一篇 倫琴射線物理学和倫琴射線結構分析

緒論	353
倫琴射線工作方法上的几个問題	357
實驗 1. 倫琴射線技术	359
實驗 2. 倫琴光譜分析	367
實驗 3. 莫塞萊定律	376
實驗 4. 天然的边界完整的晶体的測角术研究和 倫琴射線照相研究(劳厄法)	385
實驗 5. 利用劳厄照相决定單晶体中晶軸的配置	397
實驗 6. 根据劳厄照相研究晶体的結構	406
實驗 7. 旋轉倫琴射線照相	413
實驗 8. 倫琴射線在多晶体中的衍射	421
實驗 9. 測定晶体点陣常数的精密方法和倫琴射線分析应用于状态图的研究	431
實驗 10. 倫琴射線織构分析(在金屬絲和在压延金屬中的晶粒位向的 測定)	440
實驗 11. 电子的衍射	449

第二篇 鉄磁学

緒論	454
實驗 12. 冲击电流計	463
實驗 13. 用冲击法測定鐵磁物質的磁感应强度曲綫和磁滯回綫	480
實驗 14. 无定向磁強計	493
實驗 15. 鐵的磁滯損耗和傅科电流損耗的測量	499
實驗 16. 單晶体磁性各向异性的研究	507
實驗 17. 彈性胁强对磁化曲綫行徑的影响	519
實驗 18. 磁致伸縮与彈性胁强	525
實驗 19. 測量巴克好森跳变的傳播速度	532
定驗 20. 研究热处理对碳素鋼的显微结构及其性質的影响	539
實驗 21. 过冷奧氏体等溫轉变过程的研究	544

第三篇 低温物理学

緒論	550
§ 1. 低温技术的一般知識	552
§ 2. 溫度的測量	574
§ 3. 一般低温實驗	603
實驗 22. 磁場对鉻的电阻的影响	603
實驗 23. 鉑电阻与溫度的关系	606
實驗 24. 液态氧蒸发热的确定	608
實驗 25. 銅-康銅溫差電偶到 -190° 的定标	610
實驗 26. 青銅溫度計的特性	612
§ 4. 超导电性. 實驗 27, 28, 29 的緒論	614
實驗 27. 超导体的近斯納效应	627
實驗 28. 錫的超导电性	629
實驗 29. 超导电性和居間态	631

第四篇 照相過程

緒論	633
感光材料及其選擇	635
§ 1. 照相影象的形成	635
§ 2. 研究感光材料的定量方法	638
§ 3. 溴化銀感光材料的加工	645
§ 4. 照相显影动力学	649
§ 5. 显影物質和显影剂	655
§ 6. 显影剂合理配方原則	658
§ 7. 定影物質和定影剂	660
§ 8. 显影后影象的物理性質	662
§ 9. 負片的減薄和加厚	663
§ 10. 正片感光材料	666
實驗 30. 感光图的获得	669
實驗 31. 負片和正片过程	670
實驗 32. 在一定的显影液中对指定的感光材料确定 γ_m	672
一些規則和提示	173
附录 I	676
附录 II	677

第一篇 倫琴射綫物理学 和倫琴射綫結構分析

緒論

倫琴射綫是短的电磁波。倫琴射綫中超軟射綫部分包括从几百埃到 2.5—3 埃这一范围；这部分射綫强烈地被正常压强下的空气所吸收。波长从 2.5 到 0.7—1 埃的倫琴射綫为通常的玻璃所吸收，因此这些射綫要通过特殊材料所制成的小窗，才可以从倫琴射綫管中发射出来。这些射綫称为軟倫琴射綫。波长为 0.5 埃或更短的倫琴射綫具有較強的貫穿本領，可以透过金属和别的物体。这些射綫称为硬倫琴射綫。在长波方面，倫琴射綫与短的紫外波接界；在短波方面，则与鐳的 γ -射綫接界。

当速度足够大的电子对阴极撞击时，就产生倫琴射綫。无论 是由于电子运动突然受到减速（輒止）而发送电磁脉冲的电子本身，或是由于受电子碰撞而过渡到受激状态的对阴极原子，都是輒射源。当原子由受激状态跃迁到正常状态时，便同时发出标識輒射。輒致輒射产生連續光譜，标識輒射則产生綫光譜。在通过各种材料所制成的滤色器的情况下，輒致輒射的連續光譜给出吸收光譜。从标識倫琴射綫光譜的研究，可以得到关于原子的不連續能級的概念。这是因为根据下列的玻尔频率条件的缘故：

$$\Delta E = h\nu,$$

式中 ν 是輒射譜綫的频率，此频率正比于原子的初态和末态的能量差 ΔE ； h 是普朗克常数，等于 6.61×10^{-27} 尔格·秒。由此可見，我們可以用倫琴射綫測定原子的能級。

莫塞萊定律是关于光譜結構的基本定律。它以下列方程式建立起光譜項的頻率和元素的原子序数之間的关系：

$$\sqrt{\frac{\nu}{R}} = (Z - \sigma) A,$$

式中 ν 是頻率, R 是里德伯常数, Z 是元素的原子序数, σ 是屏蔽常数, 它表示电子的空间分布特性。

因为倫琴射綫光譜在某种程度上依从于原子的化学鍵, 所以我們也可以用倫琴光譜学来研究原子在化合成固体或液体时所起的变化。如果說, 在傳播方面倫琴射綫以波的形态出現, 那么, 当倫琴射綫与物質相互作用时, 便显出其另一特性: 当它与物質的粒子交換能量时, 倫琴射綫在一个单元过程中只傳送一定份量的能量和动量。例如, 在倫琴光电效应中便发生这种事实, 这时倫琴射綫的能量按照下列方程式轉变为激发能量或光电子能量:

$$h\nu = \varepsilon + \frac{mv^2}{2},$$

式中 ε 是逸出功, $\frac{mv^2}{2}$ 是电子的动能。这时, 倫琴射綫表現为粒子——光子。

連續倫琴光譜有短波边界, 这一事实也表明倫琴輻射的量子性, 当阴极射綫的电子的全部动能按下列公式轉变为光子的能量 $h\nu$ 时, 便产生短波边界:

$$\frac{mv^2}{2} = eU = h\nu.$$

由此, 短波边界可以这样确定:

$$\lambda_{\text{最小}} = \frac{hc}{e} \cdot \frac{1}{U} \quad [\text{杜安-亨脫定律}],$$

式中 λ 是光波的波长, c 是光速, e 是电子的电荷, U 是倫琴射綫管中的电势降。

在康普頓效应中，倫琴光子将自己的部分能量和动量傳給电子，因此，偏轉（“散射”）輻射的頻率便会发生改变，康普頓效应的研究提供出有关原子中电子动量分布的知識。

倫琴射綫的干涉和衍射現象最容易表露出倫琴射綫的波动性。由于倫琴射綫的波長很短，只有用极狹的縫和特別軟的倫琴射綫，才能實現狹縫的衍射。在倫琴射綫从晶面反射的情况下，显示出干涉現象。在晶体中存在有交替的原子面（面网），这些面間的距离很小，可以与倫琴射綫的波長相比拟；由于这些面网的存在，反射綫彼此发生干涉。結果是这样：反射只能在某些角 θ 下才能发生，这些角滿足布喇格-烏利夫方程：

$$n\lambda = 2d \sin \theta,$$

式中 n 是反射級次， λ 是波長， d 是面网間的距离。

对不同的晶面算出 d ，就有可能对晶体的結構进行分析。

劳厄法是上述方法的另一形式，此法用連續光譜来照射晶体，于是能够同时得到很多反射；对于外表沒有显明对称性的晶体，既可以測定晶体的对称性質，又可以測定晶体的位向。

第三种方法是德拜法，此方法能够測定多晶物体的結構，因而使倫琴射綫结构分析的領域大大地扩大。曾用德拜法研究过很多种物質，并且得到了关于固体的晶体結構的証明。此后，在德拜法的基础上，提出了測量晶体点陣的精密方法，倫琴射綫分析法便成为研究合金結構和合金中的轉变的有力工具。近代理論冶金学是以倫琴射綫結構分析所得到的結果作为基础的。借助于精密的倫琴射綫结构分析，也可以測定彈性物体的胁变（胁强）、热膨胀等等。

倫琴射綫干涉的强度既依从于原子在晶体中的排列（结构因素），也依从于原子的結構（原子因素）和原子振动（溫度因素）。由原子因素的測定，便能够找出电子在原子中的空間分布，而由溫度

因素的測定則得出热振动的性質和强度。

倫琴射綫結構分析也可应用于液体的和气态分子的結構分析。

在方法上，电子結構分析或电子照相分析也是很接近于倫琴射綫結構分析的。在此处，均匀电子束起着倫琴射綫的作用，这些电子由处在真空中的阴极发射出来，并且在高压(10—50千伏特)的电場中增加速度。根据德布罗意的理論，以速度 v 飞行的电子束表現得与波长为 λ 的倫琴射綫相类似；而波长 λ 与动量 mv 之間有下列关系：

$$mv = \frac{\hbar}{\lambda}.$$

电子束通过結晶物質的薄膜(数量級为 10^{-6} 厘米)之后，所造成的图样与德拜法中所得到的图样相类似。应用阴极射綫来研究晶体便是以此为基础的。在表面現象的研究中，电子照相术起着特殊的作用。

倫琴射綫在理論物理中的作用决定于这样的情况，就是倫琴射綫始終是研究原子、分子和晶体点陣的最重要的實驗手段。整个原子物理学在二十世紀的发展都与在倫琴射綫物理学領域中所作出的一些最重要的发现有关。原子結構、門得雷也夫周期律的基础、輻射的量子性、輻射与物質的相互作用定律、晶体結構、凝聚状态的物質中原子的相互作用定律；所有这些都是借助于倫琴射綫建立起来的。

以上所述倫琴射綫在各个領域內的应用并不能完全說明倫琴射綫的实际意义。倫琴射綫光譜术也被应用于元素的化学分析，特別是稀有元素的分析中(新元素的发现，如 Hf, Re 等等)。在地質学、在化学的各部門，特別是在冶金学和合金的制造以及金屬的加工中，倫琴射綫結構分析都得到了应用。在医学上起着很大作用

的倫琴射線透視，近來也廣泛地運用到工業中，作為探傷術和產品質量檢查的有力方法。

倫琴射線工作方法上的几个問題

(a) 一般安全問題

在倫琴射線實驗室中工作，因為牽涉到高電壓和倫琴射線，所以必須有特殊的預防措施，以保證工作人員的安全。近代的倫琴射線設備，對於倫琴射線管的全部控制工作都集中在特設的控制台上。加到控制台中所有各零件的電壓必須不超過 220 伏特。變壓器、整流器和設備的处在高電壓下的其他部分，必須與其餘的裝置分隔開（用接地的金屬網或其他某種方式）。高電壓或者是由能絕對保證電氣安全的特殊高壓電纜來饋給到倫琴射線管，或者是由架空明線來饋給。在用架空線的情況下，採用匯流條^①（直徑為 10—15 毫米的金屬管）作為導線，並用絕緣子架到天花板上。借助於小滑輪將倫琴射線管聯接到匯流條上，在斷路的時候，滑輪中的導線立刻向上升高到安全標準所需的高度（3 米）。

倫琴射線的長久照射或時常重複的照射，對有機體是有害的。為了使工作人員免於遭受直射射線和散射射線的作用，應採用各種防護設備。防護是不難實現的，例如採用金屬倫琴射線管，或採用置於吸收倫琴射線的套（套上有供狹窄射線束出口用的小窗）中的倫琴射線管。對電壓低於 100 千伏特這一情況下的倫琴射線，厚度為 2 毫米的鉛便足以作防護之用。在以玻璃倫琴射線管來工作的情況下，宜於將倫琴射線管和照相機一起置於披復鉛板的小室中，以實現倫琴射線的防護。在用可拆卸的金屬管來工作的情況下，將照相機的出口孔和空着的小窗，用鉛來加以遮蓋便足

^① 取匯流條以代替導線，為的是要減小漏電。

够了。此外，在小窗和照相机光闌之間的原倫琴射綫束的通路上，必須圍以吸收散射射綫的金屬屏風。

(6) 照相机的調整

在以通常的无防护的热阴极玻璃倫琴射綫管来工作的情况下，就必须在沒有倫琴射綫时調整照相机，并通过光闌觀察倫琴射綫管的焦点。只有在仔細地初步調整好照相机(根据灯絲)之后，才接通高电压，并使熒光屏在通过光闌的倫琴射綫的作用下发光，根据屏的发光来进行最后的調整。同时必须記住，不要太长久地处在倫琴射綫的作用下；因此，只有在檢查調整所必需的短時間內，才可以接通高电压。在用离子倫琴射綫管或具有不透可見光的小窗的倫琴射綫管来工作的情况下，在調整照相机之前，先以熒光屏来測定射綫最强的方向，知道了射綫的方向后，切断高电压，并調整照相机，然后在有倫琴射綫时对調整加以檢驗和确定。用寬光闌进行照相机的粗略調整，只有在最后的精細調整时才裝上窄光闌(工作光闌)。

(B) 輻射的单色化

常用的鎢阳极倫琴射綫管发出所謂“白色”輻射，即是說，发出具有連續光譜的輻射。光譜在短波方面的边界决定于电压，由下列关系式来决定：

$$\lambda_{\text{最小}} = \frac{12.34}{U},$$

式中 λ 以埃計， U 以千伏計；在长波方面的边界則决定于倫琴射綫管玻璃壁的吸收(对于我們常用的工程技术倫琴管，此边界大概是 0.9 埃)。

为了获得单色輻射，采用这样的倫琴射綫管，这种管的阳极是以能在低于 50 千伏特的情况下获得标識輻射的物質来造成。标識輻射光譜由不同强度的几个波長(譜綫系)所构成。最常用的为

K 線系，在此線系中， α 線（更正确地說是 α_1 和 α_2 的双重綫）和 β 線是最強的。使射綫束通过選擇吸收濾色器就能获得单色射綫束。通常使用吸收 β 輻射的濾色器。制成濾色器的物質應該包含有这样的元素，此种元素的原子序数比較阳极物質的原子序数小 1。 K_α 射綫通过濾色器时減弱得比較小；而 K_β 射綫則激起濾色器的固有标志輻射，并且在射出时減弱了許多倍。在下面的表中列出特別常用的阳极物質和相应的濾色器。在应用濾色器的情况下，如欲获得尽量均匀的輻射，宜于采用超过临界电压 $1\frac{1}{2}$ —2 倍的电压。当輻射的严格均匀性和底影的呈現都关系不大时，则可采用超过临界电压 3—4 倍的电压；此时輻射强度会增大。

阳极物質	临界电压① (千伏特)	譜綫的 λ (埃)	濾色器物質	濾色器厚度 (毫米)	在 1 厘米 ² 中物質的量 (克)
鐵	7	1.932	錳	0.005	0.004
銅	9	1.537	鎳	0.007	0.0067
鉬	20	0.708	鋯	0.033	0.020

实验 1. 倫琴射綫技术

研究倫琴射綫高压设备、设备的各組成部分的相互作用和倫琴射綫管（电子式和离子式的）。对倫琴射綫的本性作初步了解。

緒　　言

現代的倫琴射綫设备（图 1、2、3 表示 4K-110-CO 型设备的电

① 产生相应的标識光譜綫的最小电压。

路)通常由下列各部分所組成：将电压为 110—220 伏特的市电轉变为高压电的高压变压器；将高压交流电轉变为直流电的設備(图 4)；集中控制倫琴射綫管工作所必需的全部設備的控制台。将高压交流电轉变为直流电的电路是多种多样的。最常用两极整流管来进行整流。对于超过 110 千伏特的电压，就要采用同时包括有两极整流管和电容器的电路。

在 1895 年倫琴的发现之后，不久又發現了倫琴射綫具有通过不透可見光的物体的本領。各种物体对倫琴射綫的透明度是不同的，既决定于物質本身，也决定于倫琴射綫的性質。具有較大貫穿本領的倫琴射綫称为硬倫琴射綫，具有較小貫穿本領的則称为軟倫琴射綫。

根据倫琴射綫的吸收現象，人們曾制备出各种硬性計来測定倫琴射綫的硬性。劈片是最簡單的硬性計，此劈片由不同厚度的鋁片所构成，并且披复以在倫琴射綫作用下就会发光的屏。

輻射的硬性决定于倫琴射綫的波长。波长愈短，則射綫愈硬。倫琴射綫的硬性决定于加到倫琴射綫管上的电压值。为了改变硬性，我們改变从自耦变压器供給到高压变压器原繞組上的电压。自耦变压器是只有一个繞組的变压器，具有大量的抽头，分別接到繞組的一定匝数上。在任何两个抽头之間的电压正比于其間的匝数和在每一匝中的感应电动势。自耦变压器的各抽头均接到換擋器上。所需的电压将从換擋器送到高压变压器的原繞組。

电子倫琴射綫管的倫琴輻射强度决定于通过倫琴射綫管的电流值，此电流又决定于阴极灯絲的加热程度。借助于改变灯絲降压变压器原繞組中的电流來調节灯絲电流。在灯絲变压器中，要根据高压电压來考慮原繞組和副繞組間的絕緣。

通常利用球形放电器来測量高电压。根据火花所击穿的放电

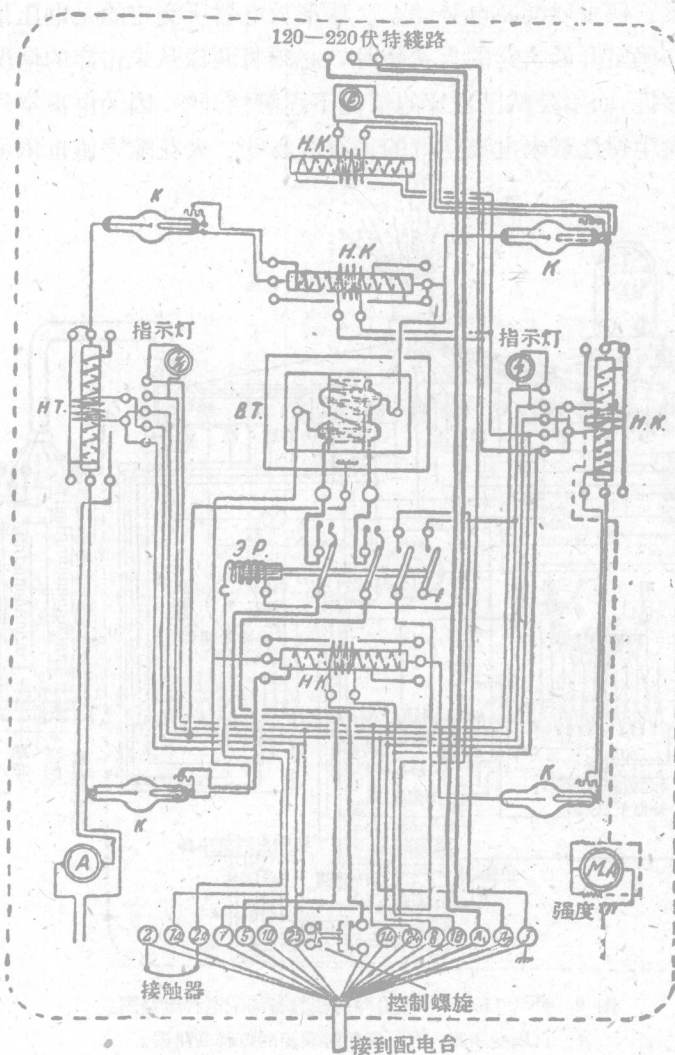


图 1. 4K-110-00 型倍琴射线设备的电路图。

H. K. — 两极整流管的灯丝变压器； H. T. — 倍琴射线管的灯丝变压器； K — 两极整流管； B. T. — 高压变压器； 3. P. — 高压变压器的电磁开关。

隙长度，便可以测定电势差^①。球形放电器所测定的是电压最大值。在确定开始击穿的火花隙时，必須将两球从未击穿的情况下逐渐移近，而不是从已击穿的情况下逐渐拉开^②，因为电离空气的击穿发生得比較未电离空气的击穿容易些。火花隙之值也依赖于

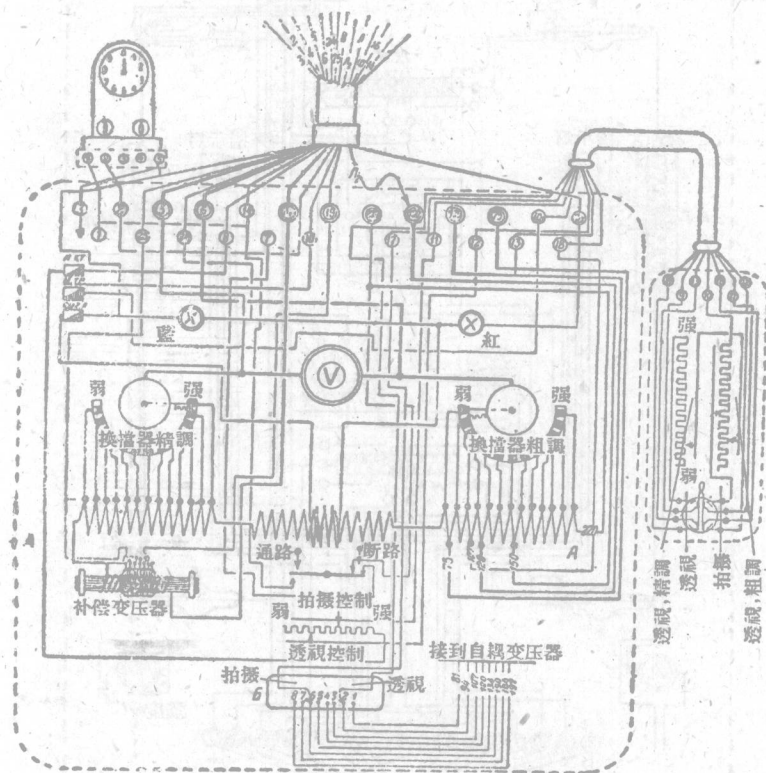


图 2. 4K-110-CO型倫琴射綫設備的配電台電路圖。

A—自耦變壓器；P—倫琴射綫管的燈絲變阻器。

① 在标准状况的空气中，当电场强度为 80 千伏特/厘米时，便发生击穿。

② 原文此句太简略，为了方便读者起见，作了适当补充——译者注。

球的直径。为了使两球之间不致有电弧出现，必须在放电器中串接一个高电阻（盛着蒸馏水的玻璃管）。

倫琴射綫管的电压通常是根据与高压变压器原繞組并联的伏特計的讀数来确定。知道了变压系数，便可以根据伏特計的讀数来确定高电压（副繞組的）的值。严格地說來，只有变压器处在空載（即是說未加上負載）的情况下，根据变压系数来求定副电压才是正确的。为了将倫琴射綫设备的伏特計的讀数轉化为 kV_{最大}，可利用球形放电器来进行測定，并以此作出副电压对原电压的依从关系曲綫图 [$kV_{\text{最大}} = f(U)$]。此曲綫图必須針對所給定的两极整流管并在放电电流工作值（通过倫琴射綫管的电流）的情况下所作出。

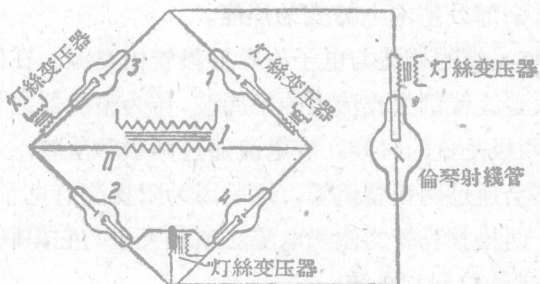


图 3. 4 K-110-OO 型倫琴射綫设备的高压电路原理图。

也可以用靜电伏特計来进行高电压的測定。此仪器的作用是以靜电吸引力为基础的，因此，它所指出的不是电压最大值，而是有效值。

电子倫琴射綫管的构造如下：在一个达到技术上抽气极限 (10^{-5} 毫米汞柱或更高的真空) 的玻璃泡中，封入两个电极——阴极和阳极。阴极是灼热的鎢絲。灼热的灯絲发射电子，当有电压加到倫琴射綫管的阴极和阳极之間时，便产生电流。在一般情况下，电流强度决定于所釋出的自由电子数量（就是說，决定于灯絲的溫度）和



图 4. 电压和电流曲綫。